

معیار آستانه‌ی حرکت ذرات رسوی در مجاری بسته با مقطع مربع شکل

حسین خزیمه نژاد^{۱*}، محمود شفاعی بجستان^۲

*- دانشجوی دوره دکتری سازه‌های آبی دانشگاه شهید چمران اهواز hkh_59@yahoo.com

۲- استاد، دانشکده‌ی مهندسی علوم آب، دانشگاه شهید چمران اهواز

تاریخ پذیرش: ۸۹/۹/۲۷

تاریخ دریافت: ۸۸/۱۲/۱۰

چکیده

نهشته شدن رسبو در سازه‌های انتقال آب، از جمله سیفون معکوس، باعث کاهش سطح مقطع جریان و همچنین افزایش زبری می‌شود که در نتیجه کاهش آبدی سازه را به دنبال خواهد داشت. به منظور عملکرد صحیح سازه، ضروری است تا این سازه طوری طراحی گردد تا از تجمع رسبو در مسیر انتقال آب جلوگیری کند و یا در صورت نهشته شدن بتوان با ایجاد شرایط لازم رسبوبات را تخلیه کرد. از جمله روش‌های جلوگیری از نهشته شدن رسبو و یا خروج آن‌ها، منظور نمودن سرعت جریان بیش از سرعت آستانه‌ی حرکت ذرات می‌باشد. تاکنون مطالعات زیادی برای تعیین آستانه‌ی حرکت ذرات رسوی در بستر یا بدنه‌ی کانال‌ها انجام شده است ولی در خصوص جریان در مقاطع بسته از جمله سیفون معکوس مطالعه‌ی اندکی صورت گرفته است. در تحقیق حاضر ابتدا با استفاده از آنالیز ابعادی رابطه‌ی کلی برای شرایط آستانه‌ی حرکت ذرات در مقاطع مربع ایجاد شد. سپس با احداث مدل آزمایشگاهی و به کار بردن پنج نمونه رسبو غیر چسبنده با اندازه ۰/۵، ۰/۷، ۱، ۰/۰ و ۳/۲ میلی‌متر تحت چهار شیب متغیر ۰، ۸، ۰، ۱۶ و ۲۴ درجه آزمایش‌های لازم انجام گرفت. نتایج به صورت منحنی‌های ارائه شده است. با به کار بردن این منحنی‌ها می‌توان سرعت آستانه‌ی حرکت را در مقاطع تحت فشار مربعی به دست آورد. همچنین کاربرد نتایج این تحقیق در تعدادی از سیفون‌های معکوس استان خوزستان ارائه شده است.

کلید واژه‌ها: آستانه‌ی حرکت ذرات رسبو، مجاری انتقال مربع شکل، سیفون معکوس، کنترل رسویگذاری

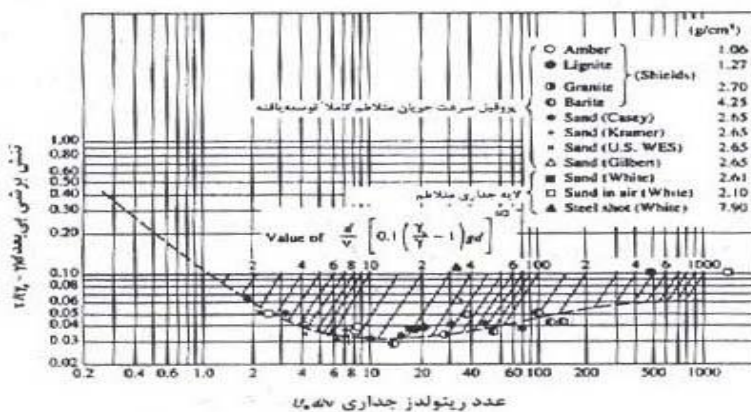
خسارت زیادی به کانال بالادست وارد خواهد کرد. به منظور عملکرد صحیح سازه ضروری است تا طراحی به گونه‌ای انجام گیرد که از تجمع رسبو در مسیر انتقال آب جلوگیری کند و یا در صورت نهشته شدن بتوان با ایجاد شرایط لازم رسبوبات را تخلیه کرد. از جمله روش‌های جلوگیری از نهشته شدن رسبو و یا خروج آن‌ها، منظور نمودن سرعت جریان بیش از سرعت آستانه‌ی حرکت می‌باشد. تاکنون مطالعات زیادی برای تعیین آستانه‌ی حرکت ذرات رسوی در بستر یا بدنه‌ی کانال‌ها انجام شده است ولی در خصوص جریان در مقاطع بسته، از جمله سیفون معکوس، مطالعه‌ی اندکی صورت گرفته است.

مقدمه

نهشته شدن رسبو در سازه‌های انتقال آب باعث ایجاد مشکلاتی نظیر کاهش ظرفیت، کاهش سرعت و به طور کلی کاهش راندمان سازه می‌شود. بخشی از سازه‌های انتقال در شبکه‌های آبرسانی به صورت بسته و با فشار کم می‌باشند که از نمونه بارز آن می‌توان به سیفون معکوس و زیرگذر جاده اشاره کرد. نهشته شدن رسبو در مجاری این سازه‌ها باعث کاهش سطح مقطع جریان و همچنین افزایش زبری می‌شود که در نتیجه کاهش ظرفیت انتقال سازه را به دنبال خواهد داشت و باعث خواهد شد تا در دبی طراحی پس‌زدگی جریان آب به وجود آید که در نتیجه

رسوب کانال‌ها و همچنین طراحی آبراهه‌های پایدار

آستانه‌ی حرکت ذرات در مطالعات انتقال



شکل (۱) نمودار شیلدز برای آستانه‌ی حرکت [۲].

است عمدتاً بر مبنای آنالیز ابعادی و استفاده از داده‌های تجربی بوده است. شفاعی بجستان [Shafai-Bejestan, 1990] نشان داده است که شکل عمده‌ی این روابط را می‌توان به صورت زیر نوشت [۱۶]:

$$\frac{V_t}{[g(G_s - 1)d_s]^{0.5}} = a \left(\frac{D}{d_s}\right)^m \quad (1)$$

که در آن V_t سرعت آستانه‌ی حرکت، G چگالی رسوب، d_s اندازه ذرات رسوب، g شتاب ثقل، D عمق جریان و m ضرایبی هستند که با استفاده از نتایج آزمایش‌های آزمایشگاهی با شرایط جریان آزاد به دست می‌آید. جدول (۱) این ضرایب را نشان می‌دهد.

جدول (۱) ضرایب a و m در رابطه (۱)

توضیحات	m	a	محقق
بستر کانال	۰/۱۶۷	۱/۴۹	Straub (1953)
بستر کانال	۰/۱	۱/۵۸	Neill (1968)
بستر کانال	۰/۰۹۵	۱/۷۰	Bogardi (1968)
$d_s/D < 0/1$ بستر کانال	۰	۲/۲	Shafai bejestan (1990)
$d_s/D > 0/1$ بستر کانال	۰/۲۵	۱/۲۳۷	
بستر مجاري بسته مستطيلي	۰/۴	۰/۲۸۷	Nalluri & Ghani (1996)
بستر مجاري بسته دايره‌اي	۰/۴۷	۰/۱۲۵	May (2003)

گسلر [Gessler, 1965] نیز در این زمینه مطالعاتی را انجام داد. وی نشان داد که منحنی نشان دهنده‌ی آستانه‌ی حرکت در دیاگرام شیلدز، به خصوص برای حالتی که جریان کاملاً در هم و بستر زیر می‌باشد، باید مقداری اصلاح گردد [۲]. بعدها مانتز [Yalin & Mantz, 1977]، یالین و کاراهان [Karahan, 1979] در این زمینه مطالعاتی را انجام دادند و دیاگرام‌هایی مشابه دیاگرام شیلدز ارائه دادند [۱۴].

اما تعدادی از محققین علم هیدرولیک رسوب بجای استفاده از تنفس برشی، سرعت جریان را به عنوان مهم‌ترین عامل در فرموله کردن آستانه‌ی حرکت به کار برده‌اند. روابطی که پیشنهاد گردیده

چان [Channe, 1994] با استفاده از آنالیز داده‌های تجربی میرل [Mayerl, 1988] که حاصل آزمایش روی مجاری مستطیلی با بستر نرم و زیر بود، مقدار متوسط $1/53$ را برای ثابت c پیشنهاد داد. [۱۲]

قانی [Ghani, 1993] با استفاده از آزمایش روی رسوبات چسبنده در مجاری دایره‌ای با شرایط جریان آزاد روابط زیر را ارائه نمود [به نقل از ۱۱]: برای لوله‌های با بستر تمیز:

$$\frac{V_s}{\sqrt{g(s_s-1)d_{50}}} = 3.08 C_V^{0.21} D_{gr}^{-0.09} \left(\frac{R}{D}\right)^{0.53} \lambda_s^{-0.021} \quad (4)$$

$$\lambda_s = 1.13 \lambda_0^{0.98} C_V^{0.02} D_{gr}^{0.01} \quad (5)$$

برای لوله‌های با بستر شامل مواد نهشته شده ثابت:

$$\frac{V_s}{\sqrt{g(s_s-1)d_{50}}} = 1.18 C_V^{0.16} \left(\frac{wb}{y_0}\right)^{-0.18} \left(\frac{d}{D}\right)^{-0.94} \lambda_s^{-0.31} \quad (6)$$

$$\lambda_s = 0.0014 C_V^{-0.04} \left(\frac{wb}{y_0}\right)^{0.34} \left(\frac{R}{D}\right)^{0.24} D_{gr}^{0.54} \quad (7)$$

که V_s سرعت خود تنظیفی و یا حداقل سرعتی که در ماجرا باید باشد تا ذرات با غلظت C_V نهشته نشوند، R غلظت حجمی رسوب بر حسب ppm ، pb عرض بستر، y_0 عمق، d_{50} اندازه متوسط رسوب، D قطر لوله، λ_s ضریب اصطکاک دارسی ویسیاخ به ترتیب برای جریان‌های رسوب دار و جریان‌های فاقد رسوب شامل رسوب، λ فاکتور اصطکاک برای جریان فاقد رسوب، d قطر متوسط رسوب، wb عرض بستر رسوبی، y_0 عمق متوسط جریان، D قطر لوله، s_s چگالی نسبی رسوب، g شتاب ثقل و D_{gr} پارامتر بی

از دیگر روش‌های جلوگیری از نهشته شدن رسوب در مجاری باز یا بسته، تعیین شرایط خود تنظیفی است. یا به عبارتی شرایطی است که در آن رسوبات همراه جریان فرصت نهشته شدن را ندارند. از جمله این مطالعات می‌توان به مطالعات نالوری و همکاران [Nalluri et al., 1994] اشاره کرد. آن‌ها رابطه‌ای برای حد نهشته شدن بار بستر بر پایه‌ی داده‌های وسیعی که برای مجاری مستطیلی تحت شرایط جریان آزاد وجود داشت پیشنهاد کردند. این رابطه هم برای مجاری تمیز که فاقد رسوبات نهشته شده می‌باشد و هم در مجاری با بستر شامل رسوبات نهشته شده ثابت، کاربرد دارد. این رابطه به شرح زیر است: [۱۲]

$$\frac{V_s}{\sqrt{g(s-1)d_{50}}} = 1.94 C_V^{0.165} \left(\frac{b}{y_0}\right)^{0.4} \left(\frac{d_{80}}{D}\right)^{-0.57} (6.6 \lambda_s^{1.49})^{0.19} \quad (2)$$

$$\lambda_s = 0.88 C_V^{0.01} \left(\frac{b}{y_0}\right)^{0.03} \lambda^{0.94} \quad (3)$$

که V_s سرعت حد نهشته شدن، g شتاب ثقل، $s = \frac{\rho_s}{\rho}$ چگالی ویژه رسوب، ρ جرم مخصوص آب، ρ_s جرم مخصوص رسوب، C_V غلظت حجمی رسوب در مقیاس ppm ، b عرض بستر، y_0 عمق آب، d_{50} اندازه متوسط رسوب، D قطر لوله، λ ضریب اصطکاک دارسی ویسیاخ به ترتیب برای جریان‌های رسوب دار و جریان‌های فاقد رسوب می‌باشند.

در مجاری دایره‌ای به جای b عرض بستر باید $0.5 \times D$ جایگزین شود و برای مجاری مستطیلی به جای D قطر مجرای دایره‌ای پارامتر $c \times b$ جایگزین می‌شود که c یک ضریب ثابت معادل $1/35$ می‌باشد.

[1996] آن‌ها مقدار ۰/۴۵ را برای این ضریب جهت طراحی لوله‌ها به کار برده بودند [۸].

با توجه به مطالبی که بیان شد ملاحظه می‌گردد که روابطی برای آستانه‌ی حرکت ذرات رسوبی در مجاری بسته مربیعی شکل با شبیب معکوس تاکنون ارائه نشده است. از این رو هدف اصلی این تحقیق فرموله کردن شرایط آستانه‌ی حرکت ذرات رسوبی غیر چسبنده در مجاری انتقال آب با مقطع مربعی و تحت فشار کم با شبیب‌های متفاوت می‌باشد.

تحلیل ابعادی

برای رسیدن به اهداف این تحقیق ابتدا لازم است تا رابطه‌ی کلی برای تعیین شرایط آستانه‌ی حرکت ذرات استخراج گردد. از این رو از آنالیز ابعادی استفاده می‌شود. از آنجا که محاسبه‌ی سرعت جریان در مجاری بسته آسان‌تر از محاسبه‌ی تنش برشی است، لذا از پارامتر سرعت در آنالیز استفاده می‌شود. بنابراین چنانچه سرعت جریان در آستانه‌ی حرکت در

مجاری بسته باشد، می‌توان نوشت:

$$f(V_T, \rho, \rho_s - \rho, D, d_s, \theta, g, \mu) = 0 \quad (12)$$

که ρ جرم واحد حجم آب، $\rho_s - \rho$ جرم واحد حجم مستغرق ذره، D اندازه هر ضلع مربع، d_s قطر متوسط ذرات رسوب، θ زاویه مقطع با شبیب معکوس نسبت به افق، g شتاب ثقل زمین، μ ضریب لزجت دینامیکی آب می‌باشد. با به کار بردن تئوری باکینگهام و انتخاب سه پارامتر V_T , d_s و g به عنوان سه متغیر تکراری، رابطه‌ی (۱۲) را می‌توان به رابطه بدون بعد به صورت زیر تبدیل نمود:

$$\frac{V_T}{\sqrt{g(G_s - 1)d_s}} = f_3\left(\frac{d_s}{D}, \theta, R_e\right) \quad (13)$$

در این رابطه G_s چگالی نسبی ذرات رسوبی، R_e نسبت اندازه ذره به بعد مقطع تحت فشار که بیشتر به

بعد است که نماینده اندازه‌ی ذره بوده و به شکل زیر محاسبه می‌شود:

$$D_{gr} = d \left(\frac{(G_s - 1)g}{\nu^2} \right)^{1/3} \quad (14)$$

تحقیق دیگری نیز توسط می، [May 2004] در زمینه‌ی نهشته شدن رسوب در سیفون معکوس انجام گرفته است. آزمایش‌های وی جهت تعیین کمترین سرعت برای جلوگیری از نهشته شدن رسوب در شبیب‌های معکوس و لوله‌های عمودی انجام شد. وی ۱۰۷ آزمایش مجزا با غلظت‌های مختلف رسوب، اندازه ذرات و زاویه‌ی شبیب لوله انجام داد. وی دو نمونه رسوب ماسه و شن با اندازه‌های متوسط ۰/۷۸ و ۴/۳ میلی‌متر را در شبیب‌های ۰، ۱۵، ۳۰، ۳۷/۵، ۴۵، ۶۰ و ۹۰ درجه مورد آزمایش قرار داد و روابط زیر را ارائه داد. شبیب لوله هم در شن و هم در ماسه اثر مشابهی روی مقدار کوچک‌ترین سرعت خود تنظیفی داشت [۸].

$$C_V = (0.0303 - 0.169 \sin \theta) \left(\frac{4}{\pi} \right) \left(\frac{d_{50}}{D} \right)^{0.6} \quad (9)$$

$$(1 - \frac{\sigma V_T}{V_s})^4 \left[\frac{V_s^2}{g(G_s - 1)D \cos \theta} \right]^{3/2}$$

$$V_T = 0.125 \sqrt{g(G_s - 1)d_{50}} \left(\frac{D}{d_{50}} \right)^{0.47} \quad (10)$$

$$\sigma = \sqrt{\frac{\{\sin \theta + \mu \cos \theta\}}{\mu}} \quad (11)$$

که C_V غلظت حجمی رسوب بر حسب μ , ppm، d_{50} قطر متوسط ذرات رسوب، D قطر لوله، V_T سرعت مربوط به اثر شبیب لوله، V_s سرعت آستانه‌ی حرکت ذرات رسوب در لوله‌ی افقی، R_e ضریب اصطکاک مؤثر چگالی ذرات رسوب و θ زاویه متعیین، μ ضریب اصطکاک مؤثر بین رسوب و جدار لوله می‌باشد [Ackers et al.,

قسمت دوم می‌تواند با زاویه‌ی مورد نظر به صورت شبیه‌دار قرار گیرد. در انتهای قسمت دوم کanal مستطیلی فلزی به طول $1/5$ متر، عرض $0/5$ و ارتفاع $0/5$ متر قرار دارد. این کanal خود به دو بخش تقسیم شده است. بخش اول وظیفه‌ی آرام کردن جریان را بر عهده دارد. در انتهای بخش دوم سرریز مثلثی 90° درجه برای اندازه‌گیری دبی نصب شده است. حد فاصل بخش اول و بخش دوم برای کنترل سطح آب دریچه تاشویی نصب شده تا سطح آب همیشه در حدی که برای استغراق دهانه‌ی خروجی لازم است، تنظیم گردد. آب پس از عبور از این سرریز وارد مخزن زیرزمینی آزمایشگاه می‌گردد. ارتفاع قرارگیری کanal انتهایی از کف آزمایشگاه بستگی به شبیه قسمت اصلی مدل دارد. از این رو سکوهای متفاوتی با ارتفاعات متغیر برای اینکه کanal روی آن قرار گیرد ساخته شده بود. شکل (۲) نمایی از مدل آزمایشگاهی را نشان می‌دهد. مواد رسوبی در بستر قسمت دوم مدل قرار می‌گیرد. به منظور قرارگیری آسان رسوب در این مجا از یک صفحه‌ی فلزی بسیار نازک استفاده گردید، به طوری که ابتدا مصالح رسوبی مورد نظر روی این صفحه قرار داده شده و سپس این صفحه به صورت کشویی به آهستگی درون مجرأ قرار می‌گرفت. البته برای این کار لازم بود تا هر بار قسمت سوم از مدل جدا و پس از قرارگیری صفحه پر از رسوب در قسمت دوم، دو قسمت مدل مجدداً به همدیگر متصل شوند. آب از برج اصلی آزمایشگاه به مدل وارد می‌گردد. میزان جریان ورودی قبل از وارد شدن به مدل از طریق شیر قطع و وصل جریان کنترل می‌شد. برای جلوگیری از نشت آب، همچنین آب‌بندی مطمئن مدل، بین فلنج‌های ابتداء، انتهای و اجزای مختلف مدل از یک سری لاستیک‌های آب‌بند استفاده گردید.

زبری نسبی معروف می‌باشد، θ زاویه مجرای انتقال نسبت به افق و R_e عدد رینولدز ذره می‌باشد. پارامتر بی بعد $\frac{V_T}{\sqrt{g(G_s - 1)d_s}}$ به عدد پایداری ذره در آستانه‌ی حرکت معروف است و در اینجا با SN نشان داده می‌شود [۱۶]. با توجه به اینکه در آزمایش‌های این تحقیق عدد رینولدز ذره بسیار بزرگ‌تر از 100 می‌باشد لذا می‌توان به استناد مطالعات شیلدز از اثر آن صرف نظر کرد [۲]. در این صورت رابطه‌ی (۱۳) به رابطه‌ی (۱۴) تبدیل می‌شود:

$$\frac{V_T}{\sqrt{g(G_s - 1)d_s}} = f_3 \left(\frac{d_s}{D}, \theta \right) \quad (14)$$

مواد و روش‌ها

رابطه‌ی (۱۴) رابطه‌ی کلی بدون بعد برای شرایط آستانه‌ی حرکت می‌باشد. برای برقراری رابطه‌ی خاص نیاز به داده‌های آزمایشگاهی می‌باشد. از این رو مدل آزمایشگاهی در آزمایشگاه هیدرولیک دانشگاه شهید چمران اهواز ساخته شد. مدل از سه قسمت تشکیل شده است. قسمت اول، ورودی مدل، مجرایی با مقطع مربعی به ابعاد 15 در 15 سانتی‌متر، به طول $2/5$ متر و از ورقه‌ی فلزی ساخته شده است. وظیفه‌ی این قسمت انتقال آب از لوله‌ی اصلی آزمایشگاه، برقراری جریان نسبتاً یکنواخت و رساندن آن به بخش دوم، قسمت اصلی مدل، می‌باشد. قسمت اصلی یا بخشی که آزمایش‌های رسوب در آن انجام می‌شود، دارای مقطع مربعی به ابعاد 15 در 15 سانتی‌متر، به طول $1/8$ متر و از پلکسی گلاس ساخته شده است. این دو قسمت توسط فلنج‌های مخصوص به همدیگر و با زاویه‌ی مورد نظر متصل می‌شوند. قسمت اول همیشه در حالت افقی و روی سکوی فلزی قرار دارد. ولی



(ب) قسمت آزمایشی در حالت افقی قرار دارد



(الف) قسمت آزمایشی در حالت افقی قرار دارد

(ج) قسمت آزمایشی در زاویه ۱۶ درجه قرار دارد (د) قسمت آزمایشی در زاویه ۲۴ درجه قرار دارد
شکل (۲) نمایی از مدل آزمایشگاهی و قرار گیری بازوی خروجی سیفون معکوس در چهار زاویه مختلف

جدول (۲) مشخصات مصالح رسوبي مورد استفاده در اين مطالعه

φ (درجه)	G_S	σ	d_{50} (mm)	رسوب	ردیف
۳۰/۲	۲/۶۵	۱/۲	۳/۲	a	۱
۲۹/۸	۲/۶۵	۱/۱۲	۲	b	۲
۲۹/۴	۲/۶۵	۱/۱۲	۱	c	۳
۲۹/۱۵	۲/۶۵	۱/۱۲	۰/۷	d	۴
۲۹	۲/۶۵	۱/۱۲	۰/۵	e	۵

در جدول (۲)، d_{50} اندازه‌ی متوسط ذرات، σ پارامتر هندسی ذره و مقدار آن برابر است با $\sqrt{D_{84} / D_{16}}$ ، G_S چگالی ذره‌ی رسوب و φ زاویه ایستایی ذره‌ی رسوب می‌باشد.

گردید. پس از اینکه شرایط تا مدتی ثابت باقی ماند مقدار جریان ورودی کمی زیاد شده و مراحل قبل تکرار می‌گردید. افزایش تدریجی جریان آنقدر ادامه پیدا می‌کرد تا اینکه شرایط آستانه‌ی حرکت ذرات رسویی و همچنین حرکت عمومی و یا فرسایش بستره کاملاً مشاهده شود. آستانه‌ی حرکت در اینجا به شرایطی اطلاق می‌گردد که در آن شرایط، ذرات رسویی به حرکت در آمده باشند و شامل حرکات منقطع و نوسانی جزئی نمی‌گردد. البته موقعیت شروع حرکت ذرات رسویی در آزمایش‌های مختلف متفاوت بود ولی عمدتاً در نقاط ابتدایی مشاهده می‌شد. در طول هر آزمایش وضعیت حرکت رسوب در مقطع اصلی اعم از شروع آبشستگی، آستانه‌ی حرکت، فرم-های بستر یادداشت می‌گردد. همچنین در حین آزمایش چندین مرتبه مقدار دبی مدل و سطح آب بالادرست کنترل می‌گردد تا احیاناً تغییری نکرده باشد. پس از اتمام آزمایش فلنچ انتهایی باز شده و رسوب باقی مانده روی صفحه‌ی فلزی خارج می‌گردد. مقداری از رسوبات نیز وارد مخزن شده که پس از جمع‌آوری خشک شده و برای انجام آزمایش‌های مرحله‌ی بعد آماده می‌شوند. مراحل فوق برای هر پنج ذره‌ی رسوب انجام می‌گرفت. پس از اتمام آزمایش-های فوق، مقطع اصلی در شیب دیگری قرار گرفته و کلیه‌ی مراحل فوق مجدداً برای پنج نوع ذره‌ی رسویی انجام می‌شد.

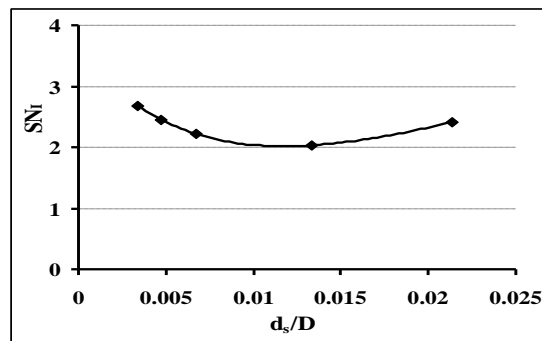
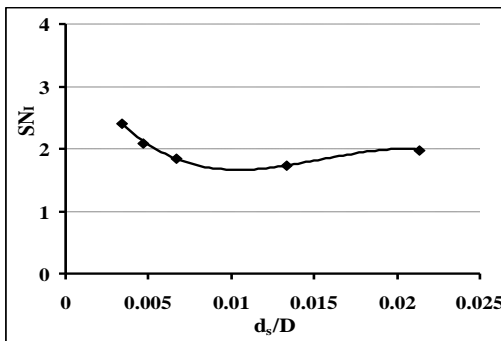
نتایج و بحث

با توجه به نتایج آزمایش‌ها و رابطه (۱۴)، شکل (۳) ترسیم گردید. (برای کسب اطلاع بیشتر می‌توان به منبع [۱] مراجعه کرد).

نتوهی انجام آزمایش‌ها

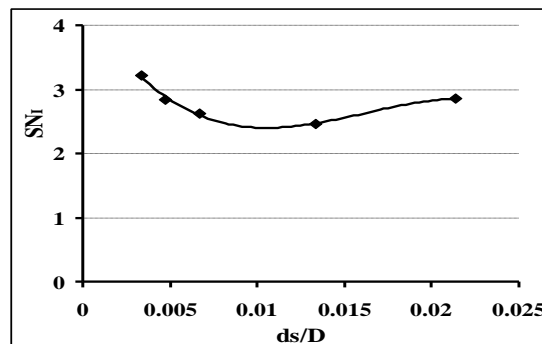
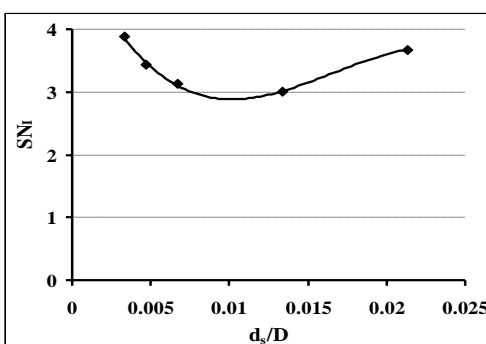
رونده انجام آزمایش‌ها بدین صورت بود که قبل از انجام هر آزمایش ابتدا مقطع اصلی مدل، (قسمت دوم مدل) در زاویه یا شیب مورد نظر قرار گرفته سپس روی صفحه کشویی به ضخامت یک سانتی‌متر مواد رسویی مورد نظر قرار می‌گرفت. آنگاه این صفحه به آرامی درون مقطع اصلی قرار داده شده و نهایتاً مخزن انتهایی به مقطع اصلی متصل می‌گردد.

پس از آماده شدن مدل، شیر قطع و وصل جریان به آرامی باز شده و آب آرام وارد مدل می‌گردد تا اینکه مقطع آزمایش پر از آب گردد. در حین پر کردن جریان چنانچه رسوبات حرکتی می‌کردند جریان قطع و با باز کردن فلنچ اتصالی بین قسمت اصلی و کanal انتهایی صفحه رسویی از درون مقطع اصلی خارج و رسوبات به حالت اولیه برگردانده می‌شند و مجدداً مدل برقرار و آزمایش شروع می‌گردد. پس از اینکه آب وارد کanal انتهایی می‌شد به کمک دریچه تاشو سطح آب در مخزن خروجی در رقوم مورد نظر تنظیم می‌گردد. این رقوم با توجه به حداقل ارتفاع مورد نیاز حد استغراق که در طراحی خروجی سیفون معکوس و یا زیر گذر جاده باید رعایت شود محاسبه می‌گردد. برای جلوگیری از تغییرات شرایط جریان در مجرای مدل به خصوص افزایش یا کاهش سرعت، این رقوم تا پایان آزمایش ثابت باقی نگه داشته می‌شد. پس از اطمینان از پر شدن مقطع به وسیله‌ی شیر قطع و وصل ورودی، جریان آب آرام افزایش می‌یافتد. با هر بار افزایش جریان، شرایط تا مدتی ثابت باقی مانده و در این فاصله‌ی زمانی سطح آب خروجی کنترل شده و اشل سرریز قرائت می‌شد. در این بین هر نوع اتفاق خاصی که در مقطع اصلی رخ می‌داد یادداشت می-



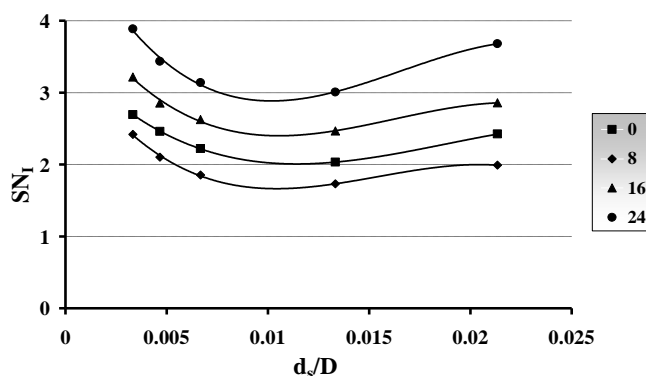
ب) مجرای شیب دار (۸درجه) تحت فشار با مقطع مربع

الف) مجرای افقی تحت فشار با مقطع مربع



ج) مجرای شیب دار (۱۶درجه) تحت فشار با مقطع مربع (د) مجرای شیب دار (۲۴درجه) تحت فشار با مقطع مربع

شکل(۳) تغییرات پارامتر عدد پایداری در برابر زبری نسبی



شکل(۴) تغییرات پارامتر $\frac{d_s}{D}$ در برابر پارامتر SN_I برای زوایای مختلف

نسبی ابتدا کاهش و سپس کمی افزایش می‌یابد شکل (۴) کلیه‌ی داده‌ها را نشان می‌دهد.

در این شکل‌ها عدد پایداری ذره در مقابل نسبت اندازه‌ی ذره به ضلع مقطع تحت فشار مربعی شکل، برای شیب‌های مختلف ترسیم شده است، همان‌طور که ملاحظه می‌شود عدد پایداری ذره با افزایش زبری

جدول (۳) مشخصات سیفون‌های معکوس در حال ساخت در استان خوزستان

نام سیفون	طول (m)	دی (m ³ /s)	سرعت (m/s)	تعداد باکس	ابعاد باکس (m)	زاویه بازوی خروجی
کرخه	۴۲۰/۶	۶۵	۱/۵۴	۳	۳/۷۵×۳/۷۵	۸
پای پل کیلومتر ۵+۲۰۰	۴۷/۳۹	۶۸	۲/۰۸	۳	۳/۳×۳/۳	۱۷/۵
پای پل کیلومتر ۱۷+۲۰۰	۱۱۹/۲۳	۶۸	۲/۰۲	۳	۳×۳	۱۰/۵
پای پل کیلومتر ۵۵+۲۴۰	۵۰	۵۳/۲۵	۱/۹۷	۳	۳×۳	۱۸
پای پل کیلومتر ۸۹+۸۲۵	۱۰۰	۱۸/۳۰	۱/۸۹	۲	۲/۲×۲/۲	۱۱
پای پل کیلومتر ۹۲+۷۵۵	۱۵۰	۱۷/۳۰	۱/۹۶	۲	۲/۱×۲/۱	۱۴
پای پل کیلومتر ۹۵+۰۵۰	۱۰۰	۱۷/۳۰	۱/۹۶	۲	۲/۱×۲/۱	۱۲
پای پل کیلومتر ۹۶+۷۱۰	۱۰۰	۱۵/۶	۱/۹۵	۲	۲×۲	۹
پای پل کیلومتر ۱۰۰+۱۰۰	۲۰۰	۱۵/۶	۱/۹۵	۲	۲×۲	۱۱/۵

باشه افقی و چه در باشه شیبدار خروجی، شرایط نهشته شدن در دی طراحی پیش نخواهد آمد. نتایج این جدول نشان می‌دهد که سرعت‌های بحرانی محاسبه شده با استفاده از نتایج این مطالعه و نتایج نالوری بسیار به هم نزدیک می‌باشد. البته مقادیر بدست آمده با روش می‌بسیار کوچک می‌باشند و دلیل آن این است که رابطه‌ی می‌برای مقاطع دایره‌ای می‌باشد. علاوه بر این نتایج می‌توان اندازه ذره‌ای که سرعت طراحی سیفون آن را در شرایط آستانه‌ی حرکت قرار می‌دهد را نیز محاسبه نمود. مشخص نمودن این ذره کمک زیادی در چهت طراحی شبکه آشغال‌گیر، ابعاد و کیفیت حوضچه‌ی آرامش کanal بالا دست خواهد نمود.

کاربرد نتایج این مطالعه در تعدادی از طرح‌های انتقال آب استان خوزستان

در راستای کاربرد نتایج این تحقیق، تعدادی از سیفون‌های معکوس در حال ساخت در استان خوزستان نیز مورد بررسی قرار گرفتند که مشخصات آن‌ها در جدول (۳) ارائه شده است.

در جدول (۴) سرعت بحرانی استخراج شده از نتایج مطالعه حاضر (قطع آزمایش با شیب صفر درجه) و روابط تجربی نالوری و می (ارائه شده برای شیب افقی) برای ذره با قطر ۳/۵ میلی‌متر آمده است. انتخاب این اندازه با توجه به بررسی‌های به عمل آمده روی کانال‌ها و مجاری انتقال آب استان خوزستان حاصل شده است. با مقایسه‌ی سرعت بحرانی محاسبه شده و سرعت جریان ملاحظه می‌شود که در هیچ‌کدام از سیفون‌های معکوس مورد نظر، چه در

جدول (۴) سرعت بحرانی برای ذره‌ی با قطر $3/5$ میلی‌متر در مقاطع میانی (افقی) و انتهایی (معکوس)
سیفون‌های معکوس در حال ساخت در استان خوزستان

ردیف	نام سیفون	سرعت آستانه حرکت m/s		مطالعه حاضر		سرعت آستانه حرکت m/s
		شیب افقی (لوله)	تالوری	شیب معکوس	شیب افقی	
۱	کرخه	۰/۷۹	۱/۱۱	۰/۸۹	۰/۸۴	
۲	پای پل کیلومتر $۵+۲۰۰$	۰/۷۴	۱/۰۶	۰/۹۵	۰/۸۲	
۳	پای پل کیلومتر $۱۷+۲۰۰$	۰/۷۱	۱/۰۲	۰/۸۳	۰/۸	
۴	پای پل کیلومتر $۵۵+۲۴۰$	۰/۷۱	۱/۰۲	۱	۰/۸	
۵	پای پل کیلومتر $۸۹+۸۲۵$	۰/۶۱	۰/۹	۰/۸۱	۰/۷۶	
۶	پای پل کیلومتر $۹۲+۷۵۵$	۰/۶	۰/۸۸	۰/۸۶	۰/۷۴	
۷	پای پل کیلومتر $۹۵+۰۵۰$	۰/۶	۰/۸۸	۰/۸۱	۰/۷۴	
۸	پای پل کیلومتر $۹۶+۷۱۰$	۰/۵۹	۰/۸۷	۰/۷۲	۰/۷۴	
۹	پای پل کیلومتر $۱۰۰+۱۰۰$	۰/۵۹	۰/۸۷	۰/۸۶	۰/۷۴	

تشکر و قدردانی

این مطالعه با حمایت مالی سازمان آب و برق خوزستان معاونت طرح و توسعه‌ی نیروگاه انجام گردید و نویسنده‌گان از این بابت تشکر و قدردانی خود را اعلام می‌دارند.

منابع

1. خزیمه نژاد، حسین، (۱۳۸۳): "بررسی شرایط آستانه‌ی حرکت رسوب در بازوی خروجی سیفون معکوس" پایان نامه‌ی کارشناسی ارشد تأسیسات آبیاری، دانشکده‌ی مهندسی علوم آب دانشگاه شهید چمران اهواز.
2. شفاعی بجستان، محمود، (۱۳۷۸): "هیدرولیک رسوب" انتشارات دانشگاه شهید چمران اهواز، ویرایش دوم.
3. Desutter.R.and.Roshforth.P.J.and.Tait.S.J.and.Huygens.M.and.Verhoeven and Saul A.J ,(2000) ,“The erosion of cohesive mixed deposits : implications for sewer flow quality modeling.” Urban water 2,pp 285-294.
4. Dey . S, (2002),“ Incipient motion of gravel and coal beds. ” sadhana vol .27 ,part.5 , pp.559-568.
5. Dey . S ,(1999) , “Sediment threshold. ”, Applied. Mathematical. Modeling 23 , pp 399-417

6. Hrissanthou. V .and. Hartmann .S ,(1998), “measurement of critical shear stress in sewer.” Journal of water . Res , Vol 32 , No 7 , PP 2035-2040.
7. Lenzi. M.A..and.Agostino.V.Billo.P,(1999) “ Bed load transport in instrument catchment of the Riocondon.”catena 36, pp 171-190
8. May . R.W.P, (2003) ,“preventing sediment deposition in inverted sewer siphons .,” Journal of Hydraulic Engineering ,ASCE,April,pp.283-290.
9. May . R.W.P.and. Ackers.C.J.and.Butler.D.and.John.s , (1996), “Development of design methodology for self-cleansing.” wat . sci . tech . vol .33 No .9 ,pp .195 – 205 .
10. Nalluri . C, El_Zaeme .A.K. and .H.L.Chan ,(2002),“sediment transport over fixed deposited beds in sewers _An.Appraisal of existing models.”,wat.sci.tech,vol.36,no.8_9,pp123_128 .1997 ress “ Journal of hydraulic Research , vol . 40, No5 ,pp.123 – 128.
11. Nalluri . C .and.Ghani. A.b , (1996), “Design options for Self_ cleansing storm sewers.” wat . sci . tech . vol .33 No .9 ,pp .215 – 220 .
12. Nalluri . C .and.Spaliviero. P , (1998)“Suspended sediment transport in rigid boundary channels at limit deposition.” wat . sci . tech . vol .37 No .1 ,pp .147 – 154 .
13. Paquier . A ,(2002), “ River bed deformation calculated from boundary shear stress .”Journal of Hydraulic Resaerch ,vol.40,No.5,pp.603 – 609.
14. Paphitis . D, (2001) , “sediment movement under unidirectional flows; an assessment of empirical threshold curves.” coastal Engineering 43,pp 227-245 .
15. parker . G, (2002), “Bed load at low shields stress on arbitrarily sloping beds : Failure of Bagnold hypothesis.” Journal of water Resource Research , Vol .38 , No .11 , 1249.
16. Shafai Bejestan, M. (1990). " Critical stability number in rock lined channels." Iran Agricultural Research, vol.9, Shiraz university, pp:121-138.
17. Vongvisessomjai . N, (2002), “ Determination of sediment Deposit in waste water collecting sewers of samut prakarn processes and networks .”paris ,france.
18. Yuan . C Fan , (1998), “sewer sediment control : overview of an epa wet – weather flow research program.” Epa .600 .j.03 . 188